

有限要素法による曲線工型梁の耐荷力解析

広島大学工学部 正員 大村裕, 広島大学工学部 正員 藤井堅
川田工業(株) 正員 松藤人美, 広島大学大学院 学生員 ○伊藤春彦

1. まえがき

曲線析は、曲率を持ったため、その力学性状は極めて複雑である。従来、曲線析に関する多くの理論的研究がなされているが、耐荷力解析においては、十分な基礎資料は得られていないようである。本報告では、幾何学的および材料学的非線形性を考慮した曲線析解析プログラムを作成し、種々の荷重状態における耐荷力を求め、曲線析耐荷力に関する基礎資料を得ることを試みたものである。

2. 変位-ひずみ関係式

深・変位場仮定を用いて、断面仕意点の変位 $\Upsilon(Y, \theta, Z)$, $\nabla(Y, \theta, Z)$, $W(Y, \theta, Z)$ と、せん断中心の変位 $\mu(\theta)$, $w(\theta)$ で表すと次のようになる。

$$\begin{cases} \Upsilon = \mu - (Z - Z_s)\varphi_0 \\ \nabla = \mu - (Y - Y_s)\varphi_E - (Z - Z_s)\varphi_r - w\varphi_\theta \\ W = w - (Y - Y_s)\varphi_0 \end{cases} \quad (1)$$

ここで、
 Y_s : 各プレートのせん断中心のY座標

Z_s : 各プレートのせん断中心のZ座標

Y_s : 各プレートの回心のY座標

φ_0 : 断面回転角

ω : 単位モリ関数

変位-ひずみ関係式は、ひずみの6成分 ($\epsilon_r, \epsilon_\theta, \epsilon_z, \gamma_{r\theta}, \gamma_{rz}, \gamma_{\theta z}$) のうち3成分 ($\epsilon_r, \epsilon_z, \gamma_{rz}$) は、深理論の断面剛り仮定より無視する。軸ひずみ ϵ_0 は、円筒座標系における変位-ひずみ関係式を用いて、次式を採用する。

$$\epsilon_0 = \frac{\Upsilon}{r} + \frac{\partial W}{r \partial \theta} + \frac{1}{2} \left\{ \left(\frac{\partial \Upsilon}{r \partial \theta} - \frac{\nabla}{r} \right)^2 + \left(\frac{\partial W}{r \partial \theta} \right)^2 \right\} \quad (2)$$

一般に、2次の微小項は、せん断中心の変位を用いて、

$$\epsilon_{rz} = \frac{1}{2} \left\{ \left(\mu - \frac{Y}{R} \right)^2 + w^2 + (Y^2 + Z^2) \rho_0^{1/2} \right\} \quad (3)$$

を採用している解剖例が多いが、本解剖(式2)では、仕意点の変位を用いて与えることとした。なお、剛性行列作成の際の積分は数値積分を適用した。

また、せん断ひずみは、次式のようになる。

$$\begin{array}{ll} \text{フランジ} & \gamma_{rz} = \frac{2\pi r_s^2}{r^2} \varphi_0' \\ \text{腹板} & \gamma_{rz} = \frac{2\pi r_s^2}{r r_e} \varphi_0', \quad \gamma_{r\theta} = 0 \end{array} \quad (4)$$

r : 板厚中央点から仕意点までの距離。

3. 解析モデルと境界条件。

本解剖では、実際下架設された曲線析の調査結果を参考にして、実橋に近い解剖モデルを決定した。解剖モデルは、図-1に示すように、2軸対称工型曲線析で、断面形状は一定とし、間角を変化させて解剖した。境界条件は、深の両端部でねじれ角を拘束し、たわみに対し単純支持とした。(図-2参照)

残留応力は、図-3に示すものを仮定した。



図-2 支承条件

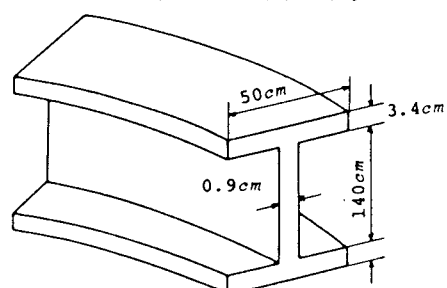


図-1 断面寸法

4. 解析例

図-4は、深の両端に曲がモーメントが作用する場合の、曲が崩壊時の塑性域を示したものであり、また図-5は、種々の荷重条件の耐荷力曲線を示したものである。図-5で、 M_E は弾性横平衡座屈モーメント、 M_p は全塑性曲がモーメントである。

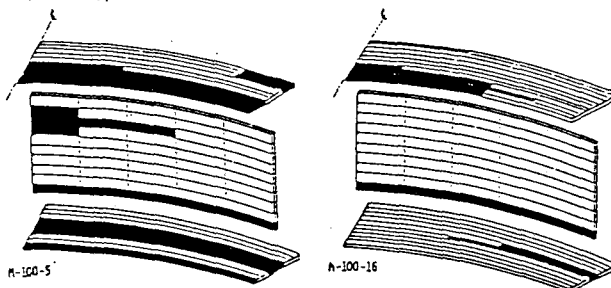


図-4 耐荷荷重時の塑性域分布図

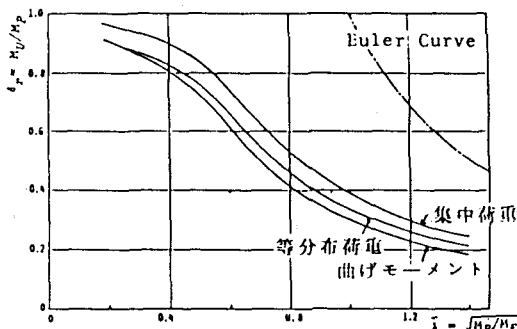


図-5 従来の耐荷力曲線

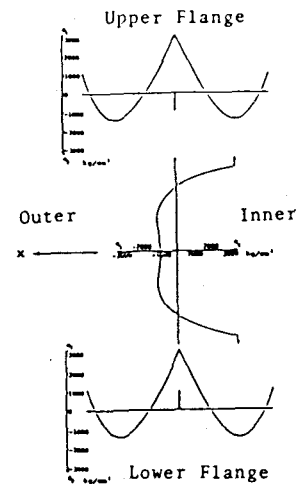


図-6 フランジの面内曲げを考慮した応力状態

一般に、曲線構では曲がねじりを伴うフランジ面内曲がが作用するが、図-5の M_p ではこれを考慮していない。そこで、塑性ヒンジが発生する位置のフランジの面内曲がモーメントを考慮した应力状態(図-6)から導かれる全塑性曲がモーメント M'_p を用いて表せば、図-7を得る。

図-4から、フランジの面内曲がモーメントによって、曲率中心側のフランジ縁から塑性域が進展することがわかる。しかし、開角の小さい桁はほぼ全スパンにわたって広く塑性域が広がっているが、開角の大きい桁は上下フランジの内側のみ塑性が現れて崩壊する。また、梁軸方向には、中央が5倍近く支承の方へ塑性域が広がっている。また、図-7より、弾塑性座屈崩壊する桁では、フランジ面内曲がモーメントを考慮した M_p/M'_p を用いた耐荷力曲線は、ECCSで規定された直角の設計提案式(9-1)によく近似している。したがって、曲線構の場合には、 M_p/M'_p を用いて耐荷力曲線を考えれば、直角の耐荷力曲線を適用することも可能ではないかと思われる。しかし、本解析で得られたデータのみではなく、今後このことについて種々の解析データに基づき、十分な検証を行なう必要がある。

(参考文献) 1) Yukio Fukemoto, Susumu Nishida; Ultimate Load Behavior of Curved I-Beams, ASCE, Vol. 107 No. EM2 1981 PP. 369~385

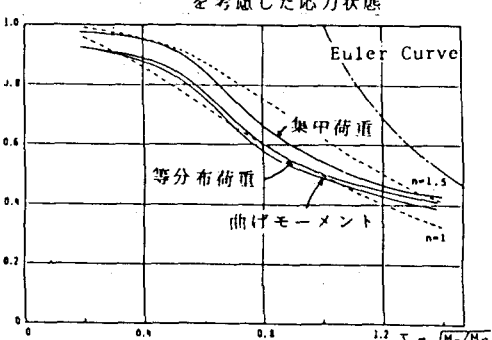


図-7 フランジ面内曲げを考慮した耐荷力曲線
2) 前田、吉田; 伝達エトリック法による曲線工型鋼の耐荷力解析、工木学生論文報告集、第312号、Proc of JSCE, PP.27~37, 1981年3月